



## الخصائص الهيدرولوجية لحوض وادي بالك في محافظة اربيل

م. د سهاد شلاش خلف  
جامعة ديالى- كلية التربية للعلوم الإنسانية

### Abstract

The study dealt with the Balak Basin, located in the Erbil Governorate in northern Iraq, where seasonal rainfall prevails in the region, as the region is within the mountainous regions, the rain of which is sometimes sufficient to generate surface runoff, where precipitation is in the form of sudden storms that work to generate surface runoff. There are many ways to estimate The volume of surface runoff, including the Snyder model, based on spatial analysis tools for remote sensing data and geographic information systems, for the purpose of extracting information about natural resources, based on satellite data (LandsatOLI 8) dated 4/15/2023, and the (Arc Map) program. 10.7). The study of hydrological characteristics is of great importance in assessing the water situation in the region as it is the main resource and a reflection of the climatic, geological and geomorphic conditions and identifying torrential risks by extracting several elements: concentration time (TC), deceleration time (Lag Time), base time of torrents (Tb), duration of gradual rise in flow. Flood flow Tm (hr), duration of gradual decrease in torrent flow (Td), estimation of torrent flow duration, torrent flow speed, ideal time period for rainfall on drainage basins (Tr), flow volume.

### Email:

suhad.ge.hum@uodiyala.edu.iq

Published: 1- 6-2024

Keywords: هيدرولوجي، وادي  
بالك، اربيل

هذه مقالة وصول مفتوح بموجب ترخيص  
CC BY 4.0

(<http://creativecommons.org/licenses/by/4.0/>)

## المخلص

تناولت الدراسة حوض بالك الواقع في محافظة اربيل شمال العراق حيث تسود في المنطقة تساقط أمطار فصلية كون المنطقة ضمن نطاق المناطق الجبلية والتي تكون امطارها كافية في بعض الأحيان لنشوء جريان سطحي، حيث يكون التساقط بشكل عواصف فجائية تعمل على توليد جريان سطحي، توجد طرق عديدة لتقدير حجم الجريان السطحي ومنها نموذج نموذج (سنايدر Snyder)، بالاعتماد على أدوات التحليل المكاني لمعطيات التحسس النائي ونظم المعلومات الجغرافية، لغرض استخلاص معلومات عن الموارد الطبيعية، اعتمادا على بيانات القمر الصناعي (LandsatOLI 8) بتاريخ 2023/4/15، وبرنامج (Arc Map 10.7). تعد دراسة الخصائص الهيدرولوجية ذات اهمية كبيرة في تقييم الوضع المائي في المنطقة كونه المورد الاساس وانعكاس للظروف المناخية والجيولوجية والجيومورفية والتعرف على المخاطر السيلية من خلال استخراج عدة عناصر هي: زمن التركيز  $TC$ ، زمن التباطؤ  $Lag$ ،  $Time$ ، زمن الأساس للسيول  $(Tb)$ ، مدة الارتفاع التدريجي لتدفق السيول  $(hr)$   $Tm$ ، مدة الانخفاض التدريجي لتدفق السيول  $(Td)$ ، تقدير مدة الجريان السيلي، سرعة الجريان السيلي، المدة الزمنية المثالية لسقوط الأمطار على أحواض التصريف  $(Tr)$ ، حجم الجريان.

## المقدمة

تعد المناطق الجبلية من المناطق المعرضة لأخطار السيول وذلك لتساقط الأمطار وذوبان الجليد وشدة انحدار المنطقة الامر الذي يكون المسيلات، تم استخدام نموذج (سنايدر Snyder) لدراسة هيدرولوجية وتقدير حجم السيول بالمنطقة بالاعتماد على تفسير الصور الجوية ونموذج الارتفاع الرقي ونظم المعلومات الجغرافية لتحديد الأودية المائية واتجاهها ودراسة جريان المياه السطحية . الوسائل التي استخدمت: تتضمن معطيات ورقية ورقمية مع الدراسات الميدانية وأليات التحليل الرقمي ومنها:

1. خرائط طبوغرافية عراقية بمقياس 1/100000 المصدر: وزارة الموارد المائية هيئة المساحة العامة لسنة 1990.
  2. مرئيات فضائية للقمر LandsatOLI8 لسنينة <https://libra.developmentseed.org/2023>
  3. بيانات ارتفاعات رقمية: DEM
  4. البرمجيات الحاسوبية ضمن أدوات التحليل المكاني في حزمة برنامج ArcMAP10.7.
- مشكلة الدراسة:

1- هل للعوامل الطبيعية تأثير على هيدرولوجية وحجم السيول في منطقة الدراسة؟

2- هل بالإمكان تقدير وحساب حجم المياه الجارية في احواض منطقة الدراسة؟

**فرضية البحث:**

1- للعوامل الطبيعية تأثير كبير على هيدرولوجية منطقة الدراسة.

2- بالإمكان تقدير وحساب حجم المياه الجارية باستخدام بالاعتماد على نماذج الجريان السطحي ومنها نموذج سنايدر.

**هدف البحث:**

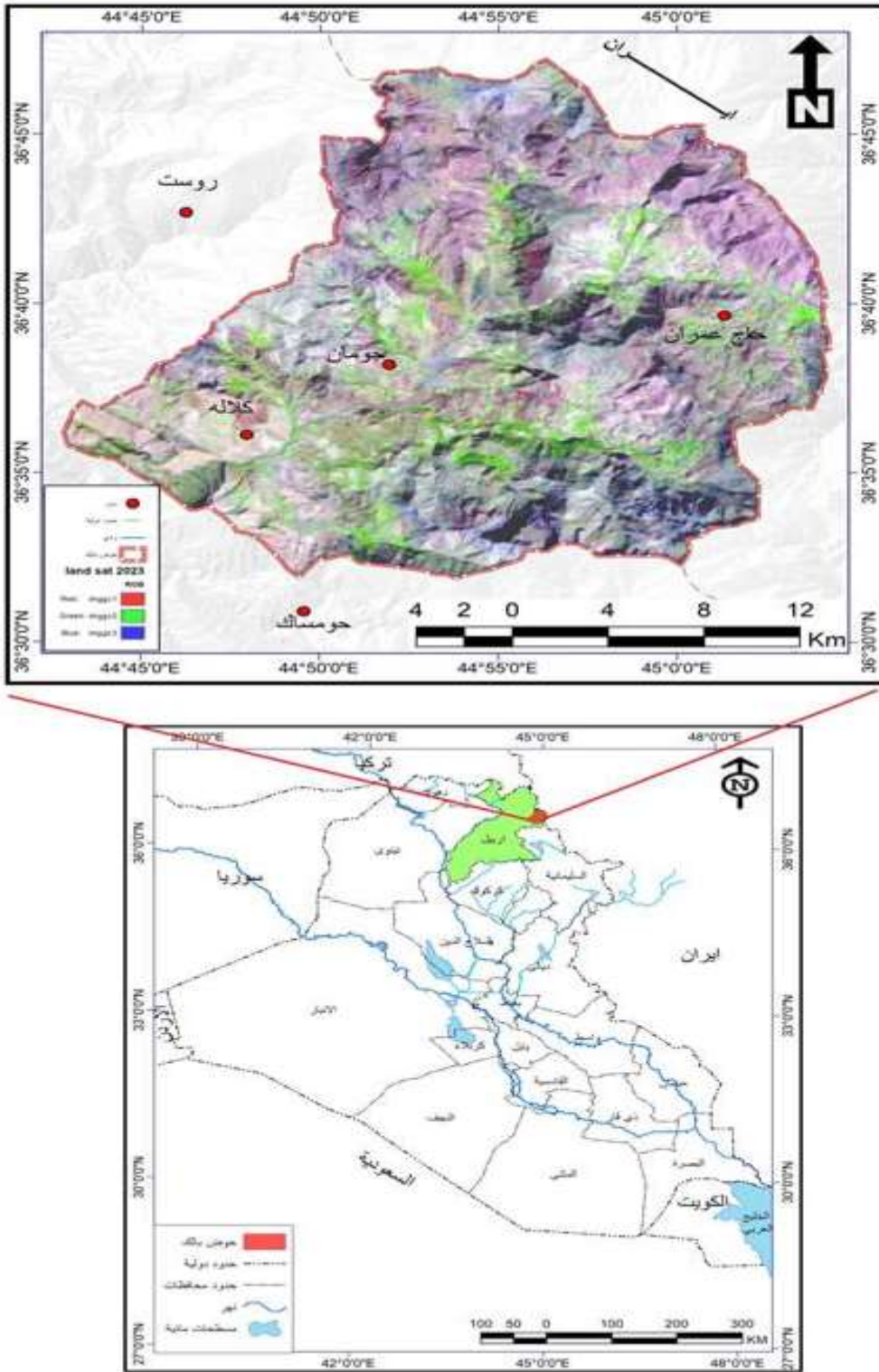
يهدف البحث الى دراسة هيدرولوجية وتقدير الخصائص الهيدرولوجية وحجم السيول في منطقة الدراسة باستخدام النماذج الكمية ودراسة الخصائص الطبيعية وتحويلها الى خرائط وبناء قاعدة بيانات للمتغيرات ونمذجتها خرائطيا تتضمن قياسات هيدرولوجية.

**منطقة الدراسة:**

تقع المحافظة اداريا في محافظة اربيل شمال العراق تحدها تركيا من الشمال ومن الشمال الغربي جمهورية إيران الاسلامية ومن الجنوب الشرقي محافظة السليمانية ومن الجنوب الغربية محافظة كركوك ومن الغرب محافظة نينوى ومن الشمال الغربي محافظة دهوك اما فلكيا تقع المحافظة بين دائرتي عرض ("37°10'00" و "36°35'0" شمالا وبين خطي طول ("44°55'10" و "44°14'00" درجة شرقا شغلت مساحة (892 كم2) خريطة (1)

تقع منطقة الدراسة شمال العراق

### خريطة (1) موقع منطقة الدراسة من العراق



المصدر: وزارة الموارد المائية، الهيئة العامة للمساحة، خريطة العراق الادارية، مقياس 1:1000000، لسنة 2015.

### أولا الخصائص الطبيعية للحوض:

بالنظر الى الجدول (1) وخريطة (2) تتكون المنطقة من التكوينات التالية:

**تكوين بلامبو:** يتألف الحجر الجيري الرملي والتراب الكلسي والحجر الجيري والحجر الرملي بلغ هذا التكوين مساحة قدرها (44 كم<sup>2</sup>) بنسبة بلغت (7.8%) من اجمالي منطقة الدراسة.

**تكوين سركي:** يقع في الجزء الغربي من المنطقة يتكون من الدولومايت وحجر كلس صلب ذو لون رصاصي وابيض من عصر الجوراسي الاسفل بلغت مساحة هذا التكوين (12 كم<sup>2</sup>) وبنسبة (2.1%) بيئة الترسيب طغيان بحري<sup>0</sup>

**ناوبردان:** بلغت مساحة هذا التكوين مساحة (69 كم<sup>2</sup>) بنسبة (12.2%) من مجمل مساحة المنطقة يتشكل من الحجر الجيري الصفيحي والحجر الرملي وصخور الغيلايت يرجع الى عصر الايوسين والاوليكوسين سمي هذا التكوين نسبتا إلى قرية ناوبردان التابعة لناحية بالك في راوندوز<sup>0</sup>

**بيران:** بلغت مساحة هذا التكوين (11 كم<sup>2</sup>) بنسبة بلغت (1.9%) من مجمل منطقة الدراسة شرق المنطقة في حاج عمران ستكون من طبقات الصخور بركانية وجيرية مرجانية ومدملكات.

**شليز:** بلغ هذا التكوين الجزء الأصغر في الجزء الشرقي من المنطقة بمساحة (7 كم<sup>2</sup>) بنسبة (1.3%) من المساحة الكلية هو عبارة عن صخور نارية مختلطة من الشست والكرانيت فضلا عن الصخور المتحولة.

**قنديل:** شغل هذا التكوين مساحة قدرها (93 كم<sup>2</sup>) بنسبة بلغت (16.5%) من اجمالي المنطقة يتكون من الغيلايت والصخور الجيرية في جبال حصاروست قنديل وجبال قنديل من منطقة الدراسة.

**تانجرو-شرانش:** يتكون من تداخل تكوين شرانش ر من تكوينات العصر الكريتاسي المتالف من المارل والتراب الكلسي والحجر الجيري صخور السلت الرصاصية المائلة الى الزرقة<sup>(1)</sup>، وتكوين تانجرو المتكون من والرمل والحجر الرملي والمجمعات والغرين وصخور الغريني والمارل<sup>(2)</sup>؛ بلغت مساحة التكوين (39 كم<sup>2</sup>) بنسبة بلغت (6.9%) من اجمالي منطقة الدراسة

**ولوش:** يرجع الى الزمن الجيولوجي الثالث ضمن نطاق الطيات العالية والفوالق الزاحفة. يتكون من صخور دولومايتية ومسامية جيرية، وحجر الكلس ومارل التكوينات الانهايد رايت والكلس<sup>(3)</sup>. شغل مساحة هذا التكوين الجزء الاكبر من مساحة المنطقة بلغ (257 كم<sup>2</sup>) بنسبة (45.5%).

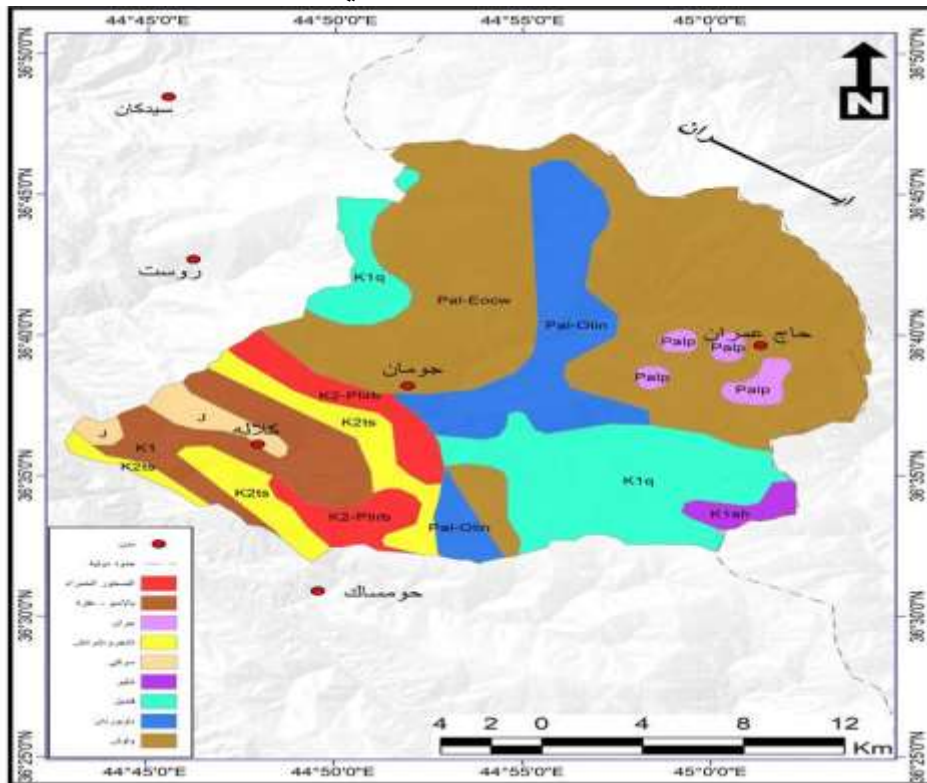
**الصخور الحمراء:** شغل هذا التكوين مساحة (33 كم<sup>2</sup>) بنسبة بلغت (5.8%) في الجزء الجنوبي الغربي من المنطقة وهي احجار رملية حصوية.

جدول (1) مساحة التكوينات الجيولوجية في منطقة الدراسة

النسبة	المساحة/كم <sup>2</sup>	الصف
7.8	44	بالامبو - عقرة
2.1	12	سركي
12.2	69	ناوبوردان
1.9	11	بيران
1.3	7	شليبر
16.5	93	قنديل
6.9	39	تانجرو-شرانش
45.5	257	ولوش
5.8	33	الصخور الحمراء
100.0	565	المجموع

المصدر: تم استخراج المساحات باستخدام برنامج (GIS) Arc Map 10.8

خريطة (2) التكوينات الجيولوجية في منطقة الدراسة



المصدر: وزارة الصناعة والمعادن، الهيئة العامة للمسح الجيولوجي والتحري المعدني، خريطة العراق الجيولوجية، مقياس

1:250000 لسنة 2000.

## تضاريس المنطقة:

تقع المنطقة ضمن نطاق الجبال المعقدة والسهول الجبلية ومن ملاحظة جدول (2) وخريطة (3) قسمت المنطقة فئات:

**الفئة الاولى:** ويتراوح الارتفاع ما بين (1410 - 723) وتمثل مناطق السهول الجبلية التي تعد اقلها انخفاضا شغلت مساحة قدرها (118 كم<sup>2</sup>) بنسبة بلغت (20.9%) من اجمال مساحة المنطقة.

**الفئة الثانية:** يتراوح الارتفاع فيها ما بين (1860 - 1420) فوق مستوى سطح البحر شغلت مساحة الاكبر من المنطقة (137 كم<sup>2</sup>) بنسبة (24.2%) ويمثل مناطق قدمات الجبال.

**الفئة الثالثة:** تراوح ارتفاعها ما بين (2270 - 1870) فوق مستوى سطح البحر شغل مساحة (132 كم<sup>2</sup>) بنسبة بلغت (23.4%) تظهر في هذه الفئة التلال في المنطقة.

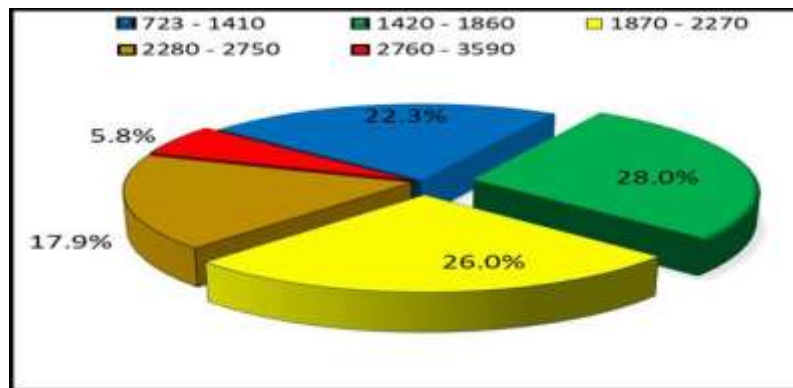
**الفئة الرابعة:** بلغ ارتفاعها ما بين (2750 - 2280) فوق مستوى سطح البحر وهي جبال وعرة بلغت مساحة هذه الفئة (109 كم<sup>2</sup>) بنسبة (19.3%).

**الفئة الخامسة:** يتراوح ارتفاع هذه الفئة ما بين (2760 - 3590 كم<sup>2</sup>) تمثلت هذه المنطقة الجبال الالتوائية الشديدة الوعرة بلغت المساحة الاصغر بلغت (69 كم<sup>2</sup>) بنسبة (12.2%) من مجمل المساحة.

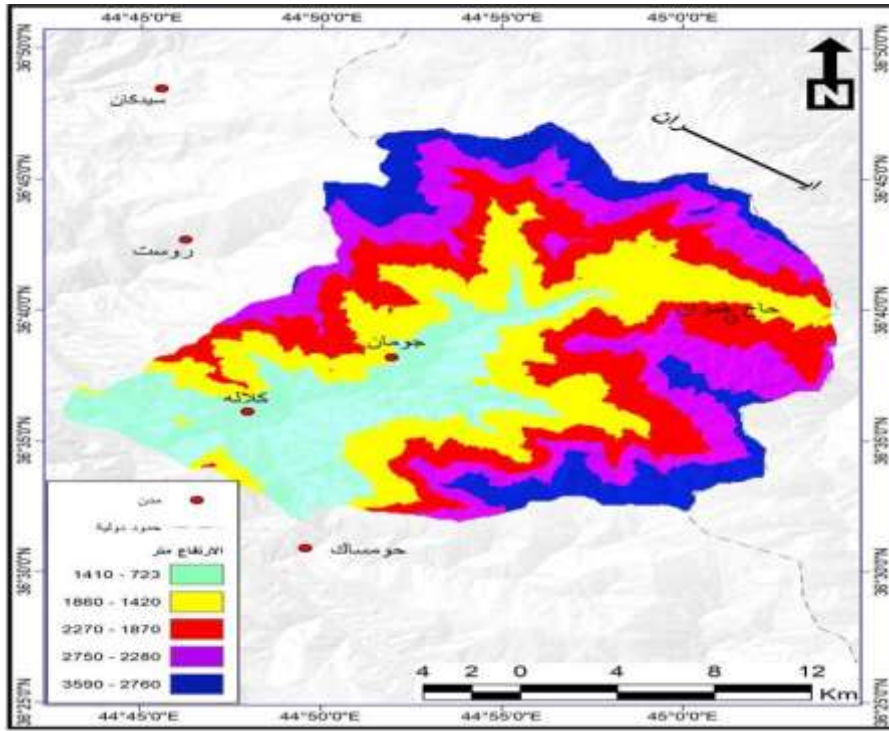
## جدول (2) مساحة الارتفاعات المتساوية في منطقة الدراسة

النسبة	المساحة/كم <sup>2</sup>	الفئة
20.9	118	723 - 1410
24.2	137	1420 - 1860
23.4	132	1870 - 2270
19.3	109	2280 - 2750
12.2	69	3590 - 2760
100.0	565	المجموع

المصدر: تم استخراج المساحات باستخدام برنامج Arc Map 10.8 (GIS)



## خريطة (3) الارتفاعات المتساوية في منطقة الدراسة



المصدر: نموذج التضرس الرقمي (DEM) بدقة 30 متر مربع لسنة 2015 ومعالجتها باستخدام (GIS) Arc Map 10.8

## درجة الانحدار في المنطقة:

تعد المنطقة متباينة الانحدار فتتدرج من الشرق الى الغرب فضلا عن تباين انحدارها من الشمال والجنوب الامر الذي يؤثر على اتجاه المياه (المسيلات المائية) وبالنظر للجدول (3) والخريطة (4) قسمت المنطقة خمس فئات بالاعتماد على نموذج الارتفاع الرقمي (DEM):

**الفئة الاولى:** تراوحت درجة الانحدار ما بين (0 - 1.9) شغلت هذه الفئة مساحة (126 كم<sup>2</sup>) بنسبة (22.3%) وهي تمثل الاراضي المستوية تشمل الاراضي السهلية والوديان.

**الفئة الثانية:** تراوحت انحدارها ما بين (2 - 7.9) شغل المساحة الاكبر من مساحة المنطقة (158 كم<sup>2</sup>) بنسبة (28.0%) وهي الاراضي ذات التموج الخفيف ضمن قدمات الجبال.

**الفئة الثالثة:** شغلت هذه الفئة مساحة بلغت (147 كم<sup>2</sup>) بنسبة بلغت (26.0/ كم<sup>2</sup>) تراوحت درجة الانحدار فيها ما بين (8 - 15.9) تمثلت على الاراضي المتموجة التي تظهر التلال فيها.

**الفئة الرابعة:** تراوحت درجة الانحدار ما بين (16 - 29.9) شغلت مساحة قدرها (101 كم<sup>2</sup>) بنسبة (17.9%) من مجمل المساحة الكلية شملت تمثلت في المناطق المقطعة والمجزأة التي تظهر فيها التلال العالية في المنطقة.



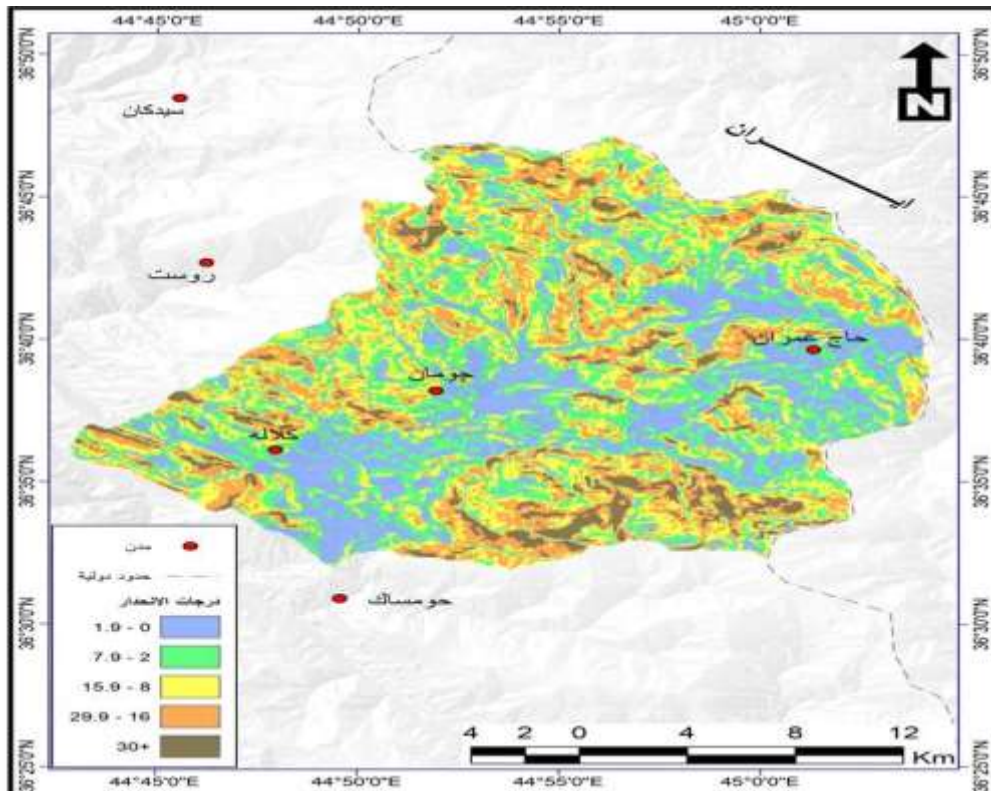
الفئة الخامسة: التي تكون درجة الانحدار فيها أكثر من (30) شغلت المساحة الاقل من المنطقة بلغت (33/ كم<sup>2</sup>) بنسبة بلغت (5.8%) وهي المنطقة المقطعة بدرجة عالية التي تكون الجبال العالية التي تظهر في اماكن متفرقة من المنطقة.

جدول (3) درجات الانحدار في منطقة الدراسة

درجات الانحدار	المساحة / كم <sup>2</sup>	النسبة المئوية %	نوع السطح
1.9 - 0	126	22.3	سطح مستوي
7.9 - 2	158	28.0	تموج خفسف
15.9 - 8	147	26.0	متموج
29.9 - 16	101	17.9	مقطعة - مجزأة
30+	33	5.8	مقطعة بدرجة عالية
المجموع	565	100.0	

المصدر: تم استخراج المساحات باستخدام برنامج Arc Map 10.8 (GIS)

خريطة (4) درجة الانحدار في منطقة الدراسة

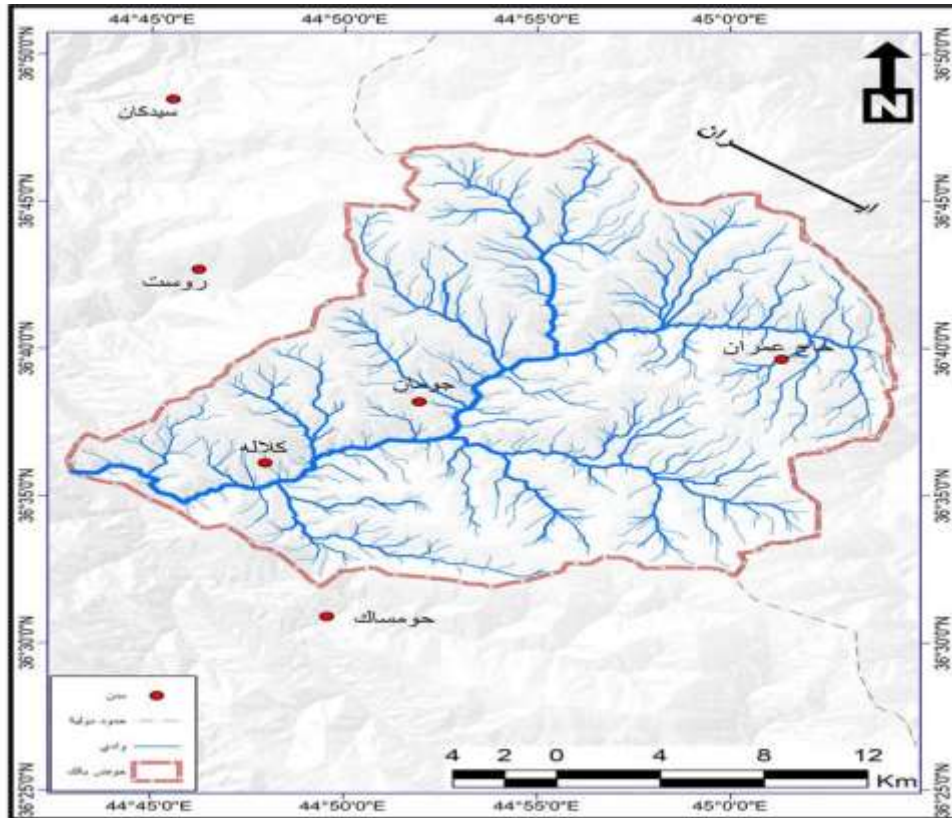


المصدر: نموذج التضرس الرقمي (DEM) بدقة 30 متر مربع لسنة 2015 ومعالجتها باستخدام Arc Map 10.8 (GIS)

### الاوذية المائية في منطقة الدراسة:

تتكون الاوذية امائية في المنطقة من عدة سهول صغيرة منتشرة حول وادي بالك الرئيسي ومنفصلة عن بعضها تبدأ من منطقة حاجي عمران باتجاه جومان وكلاله وتحيط بها جبال هلالية عالية خريطة (5)

### خريطة (5) شبكة الاوذية في منطقة الدراسة



المصدر: نموذج التضرس الرقمي (DEM) بدقة 30 متر مربع لسنة 2015 ومعالجتها باستخدام (GIS) Arc Map 10.8

### ثانيا: الخصائص الهيدرولوجية لمنطقة الدراسة:

ان دراسة الخصائص الهيدرولوجية ذات اهمية كبيرة في دراسة تصريف الاحواض في مدة زمنية وكعرفة اماناته الهيدرولوجية وتأثيرها على السطح استخدام نموذج سنيدر<sup>(4)</sup>، ومعادلاته الرياضية لغرض تقدير حجم الجريان السطحي والخطر السيلية في المنطقة .

$$T_p \text{ (hr)} = CT (L_b L_{ca})^{0.3}$$

1. زمن التركيز TC

بالنظر للجدول (4) وخريطة (6) الذي يمثل زمن التركيز الذي هو حساب زمن تجمع الامطار الساقطة على الاحواض المائية وحساب التدفق من المنبع الى المصب اعتمد في احتساب زمن التركيز في أحواض منطقة الدراسة على معادلة (5) stephen وهي:

$$TC = (0.00013) * (L^{1.15}) * (H^{0.38})$$

$$TC = \text{زمن التركيز}$$

$$L = \text{طول المجرى الرئيسي}$$

$$H = \text{الفارق الراسي بين اعلى وادنى نقطة بالحوض}$$

$$0.00013, 0.38 = \text{ثوابت}$$

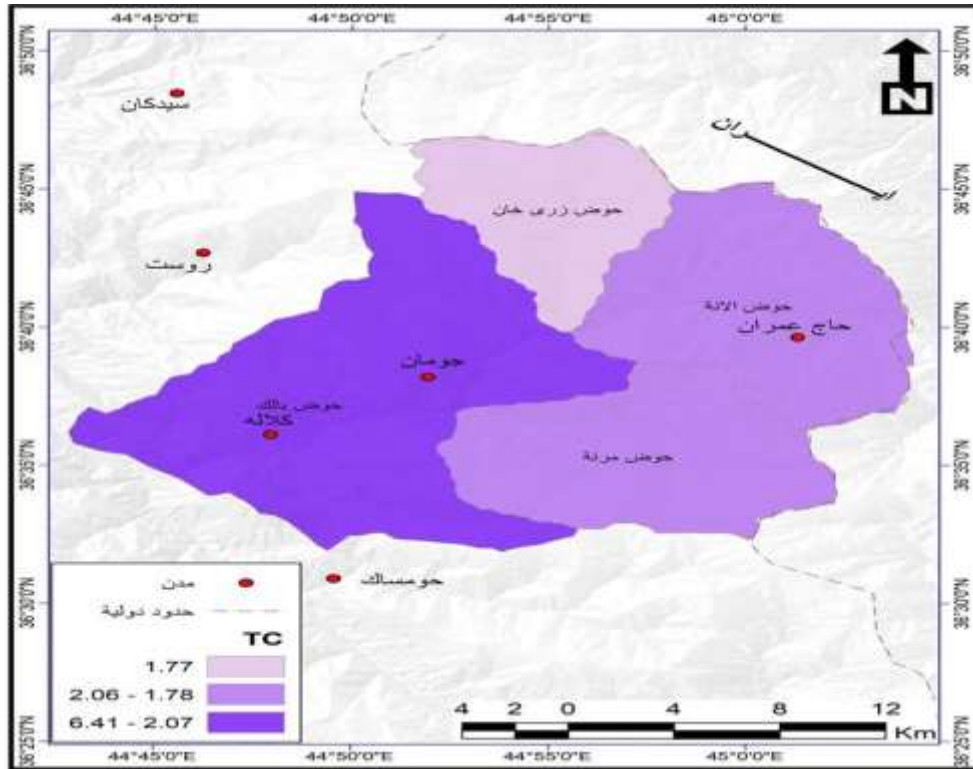
بالنظر الى جدول (4) وخريطة (6) يلاحظ ان اعلى وقت للجريان سطحي وادي بالك بلغ (384.9) دقيقة و(6.41/ سا) وسجل اقل وقت للجريان السطحي في وادي حوض زرى خان بلغ (106.1) دقيقة و(1.77/سا) لقصر طول المجرى.

الجدول (4) زمن التركيز بالساعة والدقيقة لأحواض منطقة الدراسة

اسم الحوض	طول المجرى/كم	فرق الارتفاع متر	زمن التركيز بالدقيقة	زمن التركيز بالساعة
حوض زرى خان	17.5	1778	106.1	1.77
حوض الانة	19	1907	123.5	2.06
حوض مرنة	16	2194	119.7	1.99
حوض بالك	44.7	2526	384.9	6.41

المصدر: بالاعتماد على نموذج الارتفاع الرقمي DEM وباستخدام برنامج Arc Map 10.5

## خريطة (6) زمن التركيز بالساعة لأحواض منطقة الدراسة



المصدر: بالاعتماد على جدول (4) وباستخدام برنامج Arc Map 10.5.

2. زمن التباطؤ **Lag Time**: هو حساب زمن استجابة الاحواض لهطول الامطار بالساعات للوصول الى ذروة التدفق (التصريف) ويمكن استخراج زمن التباطؤ وفق المعادلة التالية ينظر جدول (5) خريطة (7)  $Lca)^{0.3} LT (hr) = CT (Lb$

$Lb$  = طول المجرى الرئيس (كم)

$Lca$  = المسافة الفاصلة بين مصب الحوض ومركز ثقله (كم)

$CT$  = معامل زمن تدفق الذروة وهو خاص بطبيعة الحوض ودرجة انحداره وتتراوح قيمته بين (1.8 - 2.2)

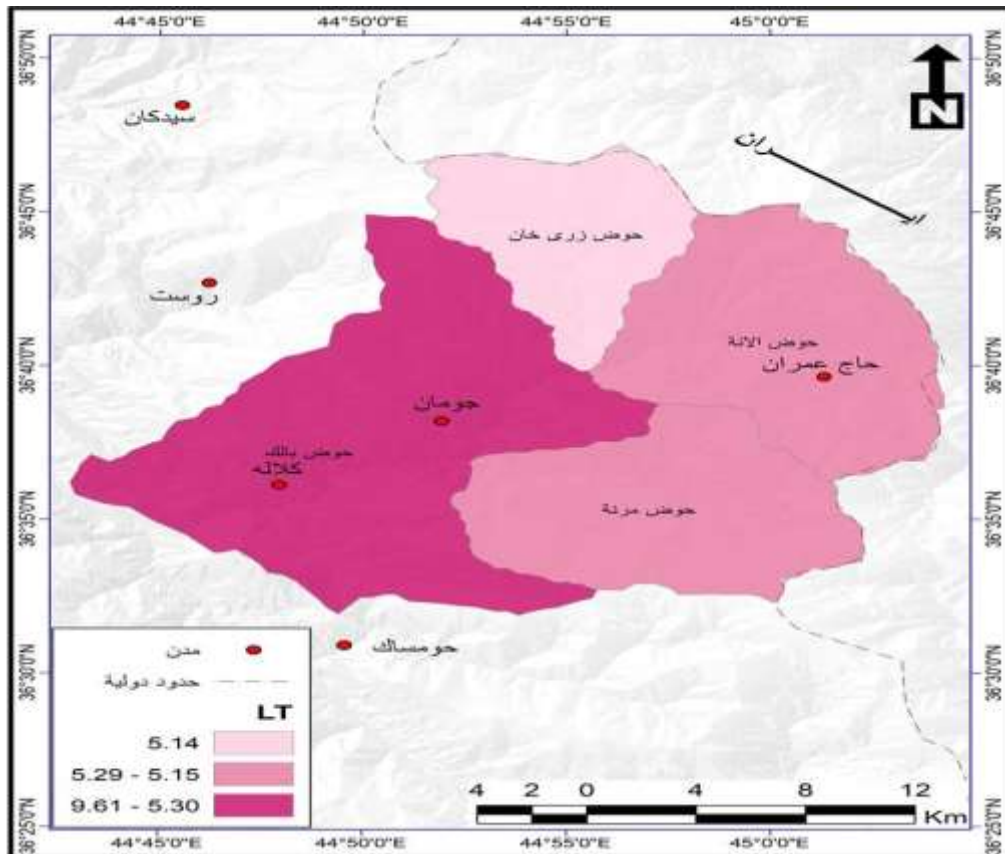
يلاحظ من جدول (5) وخريطة (7) ان اقل ذروة للتصريف سجلت في حوض زرى خان (5.14/سا) وكانت متقاربة في حوض الانه وحوض مرنة وسجلت اعلى ذروة للتصريف في حوض بالك حيث سجل (9.61/سا)، ويتضح وجود علاقة طردية بين زمن التباطؤ وطول المجرى وعلاقة عكسية مع درجة الخطورة حيث كل ما زاد زمن التركيز قلت الخطورة لزيادة الزمن الذي يحدث فيه الجريان الأرضي

الجدول (5) زمن التباطؤ (LT) بالساعة لأحواض منطقة الدراسة

اسم الحوض	المسافة بين مصب الحوض ومركز ثقله /متر	طول المجرى	زمن التباطؤ/ساعة
حوض زرى خان	7.3	17.5	5.14
حوض الالنة	7.4	19	5.29
حوض مرنة	8.7	16	5.28
حوض بالك	23	44.7	9.61

المصدر: بالاعتماد على نموذج الارتفاع الرقمي DEM وباستخدام برنامج Arc Map 10.5

خريطة (7) زمن التباطؤ (TP) بالساعة لأحواض منطقة الدراسة



المصدر: بالاعتماد على جدول (5) وباستخدام برنامج Arc Map 10.5

3. زمن الأساس للسيول ( $T_b$ ): هو الفترة الزمنية للسيل المائي في الحوض من المنبع الى المصب وهي تتناسب في متغيراتها مع المتغيرات في زمن التباطؤ، ويتم استخراج هذا المعامل (يوم) (days) Time base باستخدام المعادلة الآتية <sup>(7)</sup> ينظر خريطة (8) جدول (6):

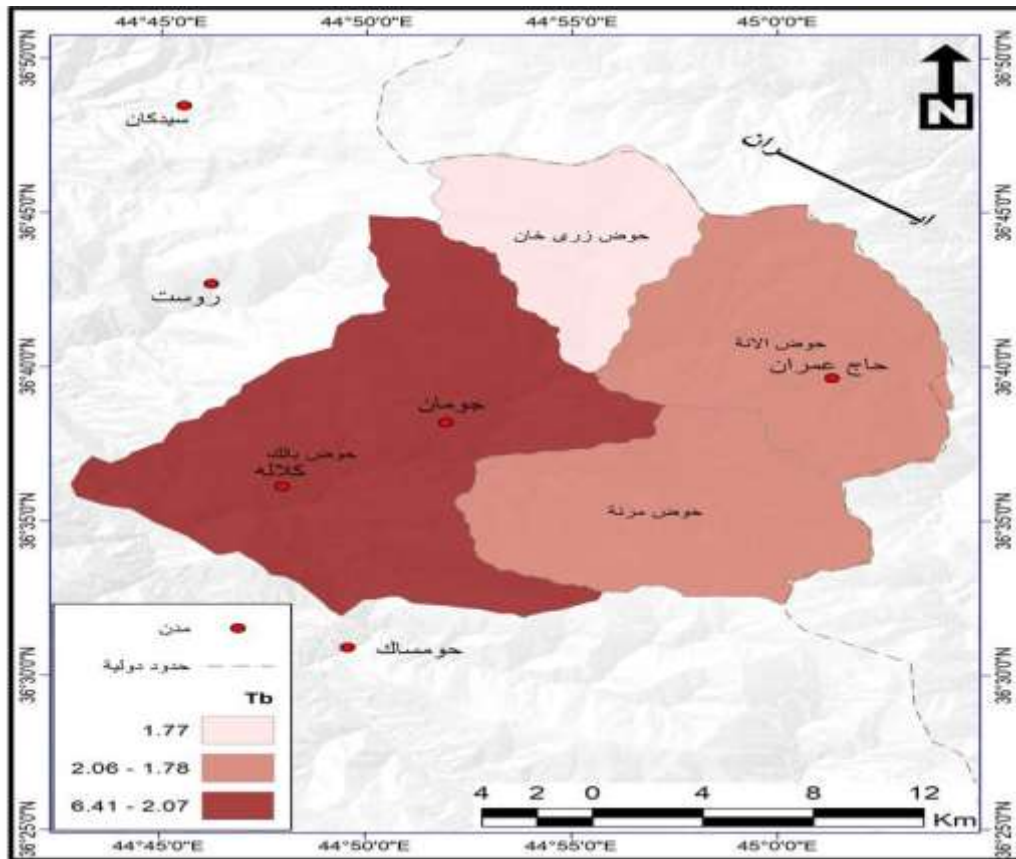
$$T_b \text{ (days)} = 3 + \frac{tb(hr)}{8}$$

$T_b$  (days) = زمن الأساس للسيل (يوم):

$T_p$  = فترة استجابة الحوض المائي لسقوط الأمطار/ساعات (زمن التباطؤ)

سجل حوض وادي بالك اعلى زمن اساس للسيول بقيمة بلغت (4,20 يوم) وتقاربت القيم في الاحواض البقية

خريطة (8) زمن الاساس للسيول ( $T_b$  day) لأحواض منطقة الدراسة



المصدر: بالاعتماد على جدول (6) وباستخدام برنامج Arc Map 10.5

## الجدول (6) زمن الاساس للسيول (Tb day) يوم لأحواض منطقة الدراسة

اسم الحوض	زمن الاساس للسيول/يوم
حوض زرى خان	3.64
حوض الائمة	3.66
حوض مرنة	3.66
حوض بالك	4.20

المصدر: بالاعتماد على نموذج الارتفاع الرقمي DEM وباستخدام برنامج Arc Map 10.5

4. مدة الارتفاع التدريجي لتدفق السيول (hr) Tm : هو مدة لارتفاع مياه الامطار التدريجي بعد حدوث التشعب الارضي في قاع الوديان نتيجة السقط المستمر مما يتيح حدوث السيل في قطاعات الوادي من العليا الوسطى باتجاه الدنيا وصولا للمصب يتم حساب هذه المدة على وفق المعادلة الآتية (8).

$$T_m (hr) = \frac{1}{3} T_b (hr) \quad \text{إذ تمثل:}$$

Tm=فترة الارتفاع التدريجي لتدفق السيل (ساعات) ، وهي تمثل على هيدروغراف المدة الزمنية الممتدة من بداية الجريان السيل الى مدة ذروته على المنحني.

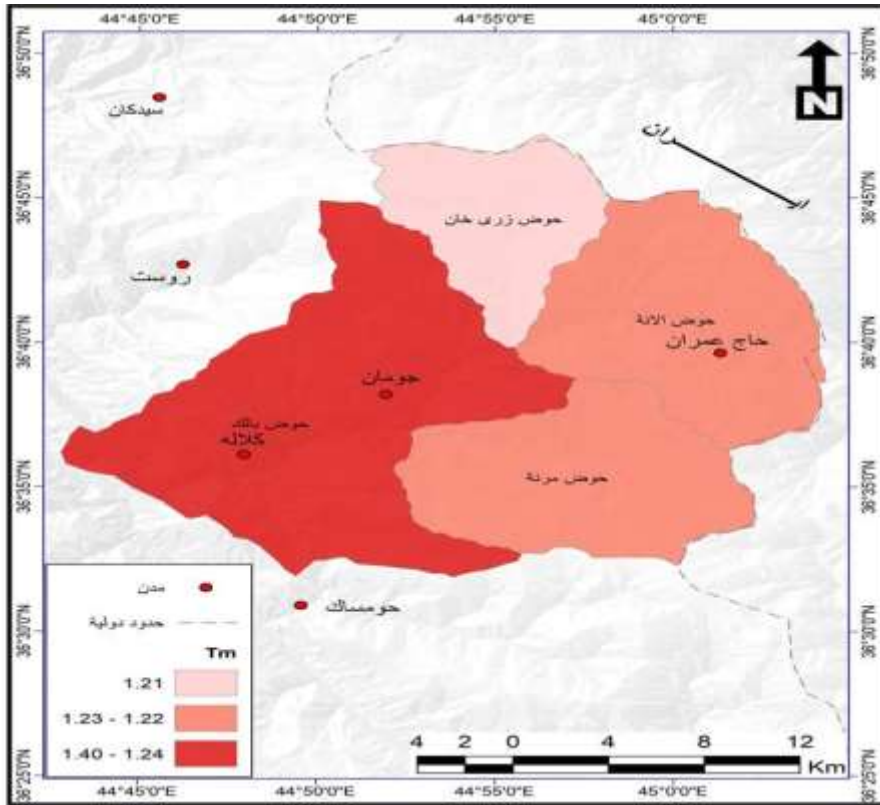
$$T_b (hr) = \text{زمن الأساس للسيول محسوبة (ساعة).}$$

## الجدول (7) زمن الارتفاع التدريجي لتدفق السيول/ساعة Tm(hr) لأحواض منطقة الدراسة

اسم الحوض	Tm(hr) زمن الارتفاع التدريجي لتدفق السيول/ساعة
حوض زرى خان	1.21
حوض الائمة	1.22
حوض مرنة	1.22
حوض بالك	1.40

المصدر: بالاعتماد على نموذج الارتفاع الرقمي DEM وباستخدام برنامج Arc Map 10.5

## خريطة (9) زمن الارتفاع التدريجي لتدفق السيول ساعة لأحواض منطقة الدراسة



المصدر: بالاعتماد على جدول (7) وباستخدام برنامج Arc Map 10.5

5. مدة الانخفاض التدريجي لتدفق السيول (Td):

وتُحسب بتطبيق المعادلة الآتية: هو المدة التي ترجع المياه الى وضعها الطبيعي وانخفاض منسوب السيل ويمكن استخراجها من المعادلة الآتية<sup>(9)</sup>:

$$T_d \text{ (hr)} = \frac{2}{3} T_b \text{ (hr)}$$

زمن الانخفاض التدريجي لتدفق السيل محسوبة بالساعات =  $T_d \text{ (hr)}$

زمن الأساس للسيل محسوبة (بالساعة) =  $T_b \text{ (hr)}$

من خلال جدول (8) وخريطة (10) ومن تطبيق المعادلة يتضح ان مدة الانخفاض التدريجي لأحواض منطقة الدراسة تراوح ما بين (2.43-2.80 ساعة) في حوض زرى خان وحوض بالك ويتساوى معدل الانخفاض بين حوض الاله ومرنة.

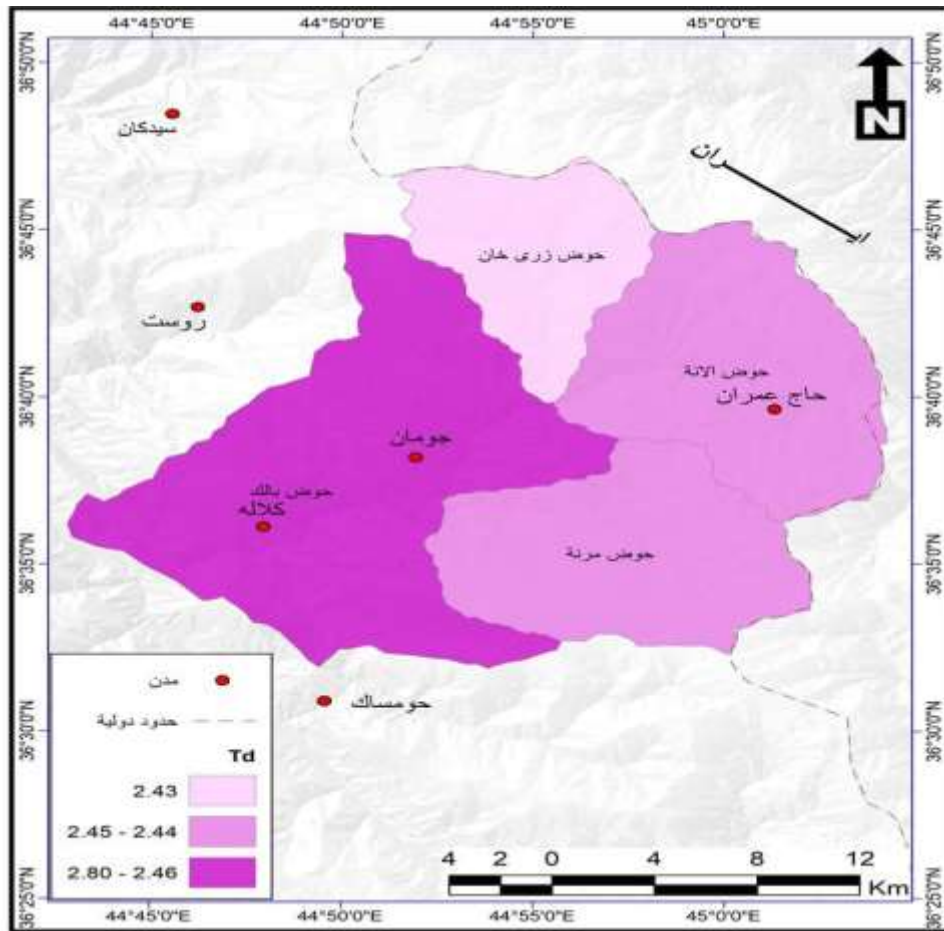


الجدول (8) مدة الانخفاض التدريجي لتدفق السيول لأحواض منطقة الدراسة

اسم الحوض	مدة الانخفاض التدريجي لتدفق السيول (Td):
حوض زرى خان	2.43
حوض الالنة	2.44
حوض مرنة	2.44
حوض بالك	2.80

المصدر: بالاعتماد على نموذج الارتفاع الرقمي DEM وباستخدام برنامج Arc Map 10.5

خريطة (10) مدة الانخفاض التدريجي لتدفق السيول لأحواض منطقة الدراسة



المصدر: بالاعتماد على جدول (8) وباستخدام برنامج Arc Map 10.5

6. تقدير مدة الجريان السيلي: تعرف بالمدة التي تستغرقها المياه في الحوض حتى تصل الى المصب وبتطبيق العلاقة الرياضية التالي لقياس منحني التصريف(الهيدروغراف)<sup>(10)</sup>



7. سرعة الجريان السيلي: - تعد من اهم المعاملات المورفومترية كونها تحدد خطورة الاودية وقدرتها على أحت والنقل والترسيب ويعر عنه بحجم المياه في وحدة الزمن يمكن قياسه بالمعادلة الآتية (10):

$$V = L/Tc$$

بمجري الأودية، يمكن حساب وتقدير سرعة الجريان وفق المعادلة الآتية:

إذ تمثل:

V= سرعة الجريان

L= طول حوض التصريف (كم)

Tc= زمن التركيز (ساعة)

من خلال جدول (10) وخريطة (12) يتضح ان اعلى سرعة جريان سطحي في حوض وادي زري خانة (7,74 كم<sup>-2</sup> ساعة) كونه اقل تعرجا واول زمن تركيز واول سرعة جريان في حوض وادي بالك بلغت

(4.84) كم<sup>-2</sup> ساعة لطول الحوض وارتفاع زمن التركيز فضلا عن تعرج مجراه.

الجدول (10) سرعة الجريان السيلي لأحواض منطقة الدراسة

اسم الحوض	اقصى طول للحوض / كم	زمن التركيز بالساعة	سرعة الجريان السيلي كم/ساعة
حوض زرى خان	13.7	1.77	7.74
حوض الانة	12.3	2.06	5.97
حوض مرنة	14.9	1.99	7.49
حوض بالك	31	6.41	4.84

المصدر: بالاعتماد على نموذج الارتفاع الرقمي DEM وباستخدام برنامج Arc Map 10.5



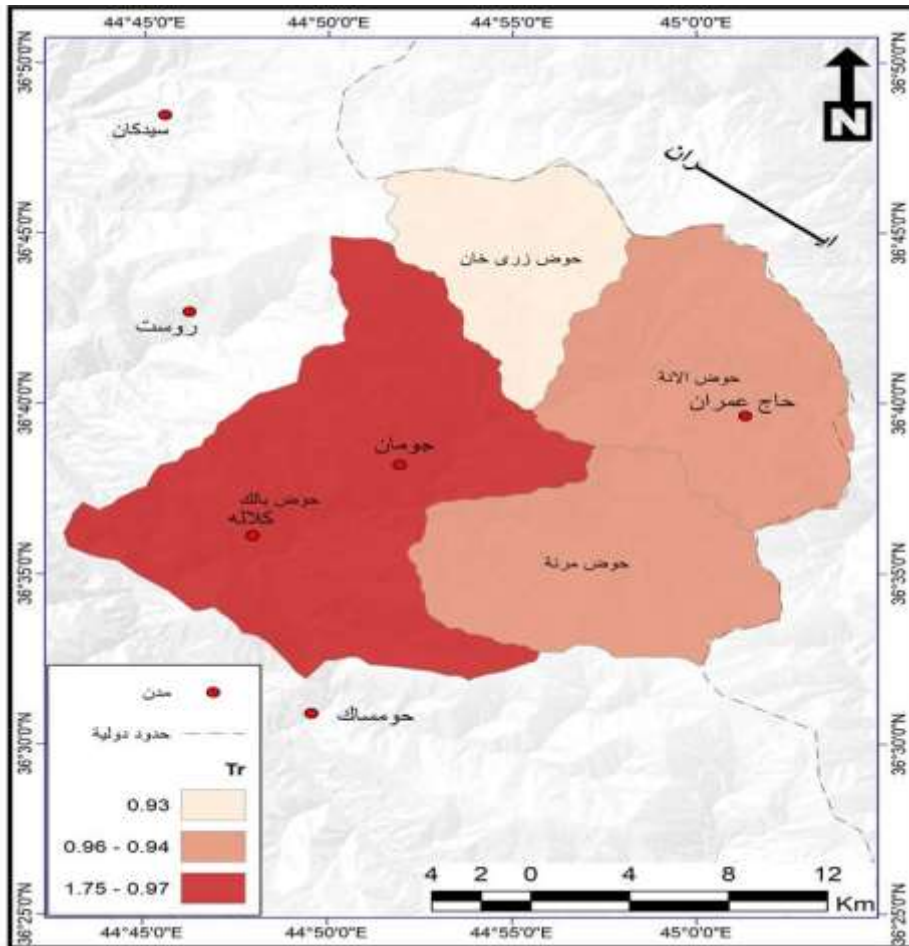
ومن خلال ملاحظة جدول (11) وخريطة (13) يلاحظ ان المدد الزمنية المثالية لسقوط الامطار تتسم بالانخفاض حيث لا تتجاوز الساعة عدا حوض وادي بالك الذي تجاوزت المدة الزمنية لسقوط الامطار الساعة واتسمت بالارتفاع.

الجدول (11) المدة الزمنية المثالية لسقوط الأمطار لأحواض منطقة الدراسة

Tr	اسم الحوض
0.93	حوض زرى خان
0.96	حوض الينة
0.96	حوض مرنة
1.75	حوض بالك

المصدر: بالاعتماد على نموذج الارتفاع الرقمي DEM وباستخدام برنامج Arc Map 10.5

خريطة (13) المدة الزمنية المثالية لسقوط الأمطار لأحواض منطقة الدراسة



المصدر: بالاعتماد على جدول (11) وباستخدام برنامج Arc Map 10.5

9. حجم الجريان: ويعبر عنه عندما تزيد حجم الامطار عن حجم الفاقد بالتسرب مما تتجاز شدة المطر عن الحد الذي يمكن للحوض استيعابه او يشير الى كمية المياه المتدفقة في حوض التصريف فتتجمع كميات كبيرة من المياه في هذا الحوض وتزداد سرعة الجريان الامر الذي يسبب حدوث الفيضانات يمكن استخراج حجم الجريان باستخدام المعادلة الآتية (12):

$$Qt(m^3/s)=\sum(km)^{0.85}$$

إذ تمثل:

حجم الجريان (الف م<sup>3</sup>/s) = Qt

مجموع أطوال مجاري الحوض (كم) =  $\sum L$

أسس ثابتة تعبر عن ظروف الحوض = 0.85

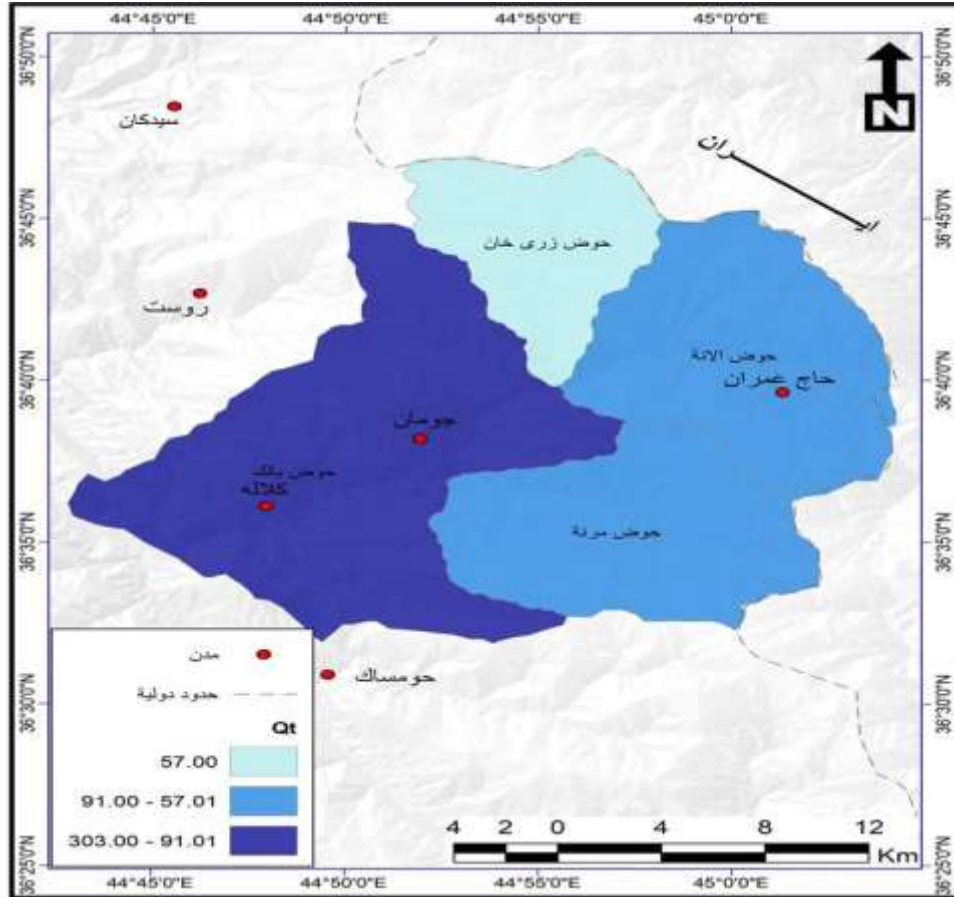
من ملاحظة جدول (12) وخريطة (14) يتبين ان حجم الجريان المائي يتراوح ما بين (57) ألف متر مكعب/ثا في حوض زرى خان حيث سجل اقل حجم جريان بينما سجل حوض بالك الرئيسي حجم تصريف بلغ (303) الف متر مكعب/ثا ونلاحظ وجود علاقة طردية بين حجم الجريان واطوال ومساحة الحوض النهري.

#### الجدول (12) حجم الجريان لأحواض منطقة الدراسة

اسم الحوض	مجموع اطوال مجاري الحوض كم	حجم الجريان (الف متر مكعب/ثا)
حوض زرى خان	117	57
حوض الانة	203	91
حوض مرنة	181	83
حوض بالك	829	303

المصدر: بالاعتماد على نموذج الارتفاع الرقمي DEM وباستخدام برنامج Arc Map 10.5

## خريطة (14) حجم الجريان لأحواض منطقة الدراسة



المصدر: بالاعتماد على جدول (12) وباستخدام برنامج Arc Map 10.5

10. قيمة التدفق الاقصى للسيول ( $Q_p$ ):

تستخدم هذه القيمة في معرفة أقصى تدفق المياه السيول يمكن أن تصل إلى مجارى الأودية في حالة وجود نشاط سيلبي قوي، يمكن حساب قيم التدفق الأقصى للسيول في أحواض المراوح يمكن حساب قيم التدفق الأقصى للسيول في أحواض عن طريق المعادلة الآتية:

$$Q_p \text{ (m}^3\text{/s)} = \frac{CPA}{tp(\text{hr})}$$

كمية التدفق الاقصى للسيول بحوض التصريف ( $\text{م}^3\text{/ثا}$ ) =  $Q_p(\text{m}^3\text{/s})$

اذ تمثل:

$A = (\text{كم}^2)$  مساحة الحوض

$T_p(\text{hr}) =$  مدة استجابة حوض التصريف لهطول الأمطار (ساعة)

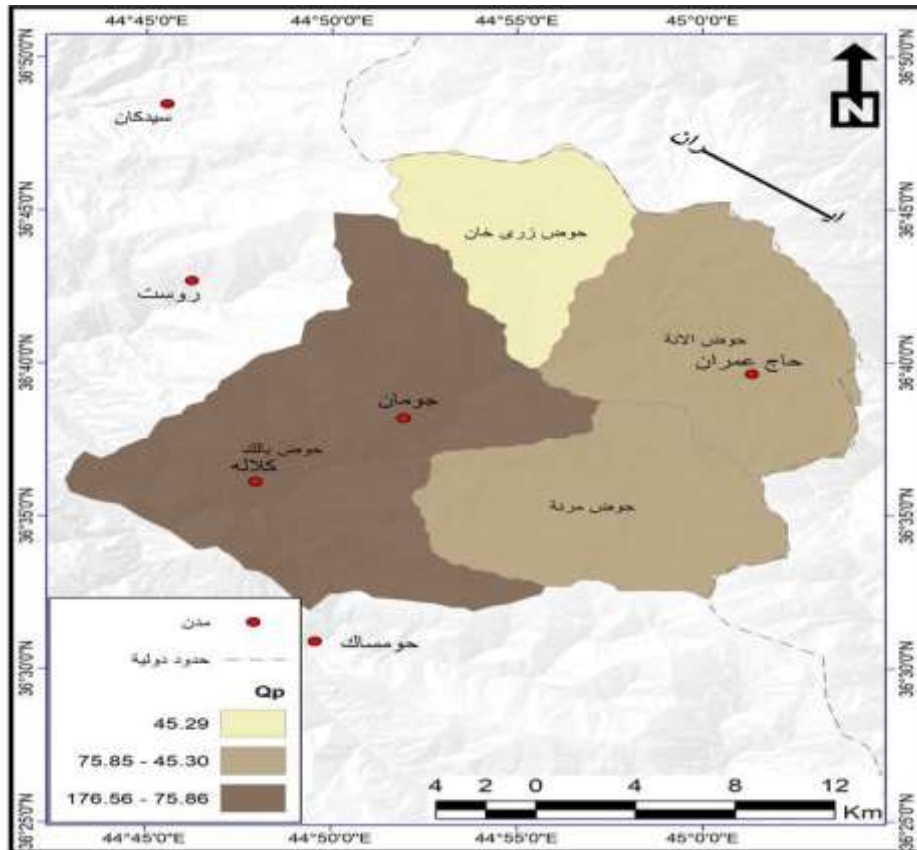
$C_p = (2.0 - 6.5)$  معامل يرتبط بقابلية حوض التصريف المائي لتخزين المياه، وتتراوح قيمته بين

### الجدول (13) قيمة التدفق الاقصى للسيول لأحواض منطقة الدراسة

اسم الحوض	زمن التباطؤ/ساعة	المساحة كم <sup>2</sup>	$Q_p(\text{m}^3/\text{s})$
حوض زرى خان	5.1	77	45.29
حوض الانة	5.3	134	75.85
حوض مرنة	5.3	120	67.92
حوض بالك	9.6	565	176.56

المصدر: بالاعتماد على نموذج الارتفاع الرقمي DEM وباستخدام برنامج Arc Map 10.5

### خريطة (15) قيمة التدفق الاقصى للسيول لأحواض منطقة الدراسة



المصدر: بالاعتماد على جدول (13) وباستخدام برنامج Arc Map 10.5

11. قيمة التسرب: وتستخرج قيمة التسرب على وفق المعادلة الآتية:

$$F_p = A * T_d * 0.0158$$



إذ تمثل:

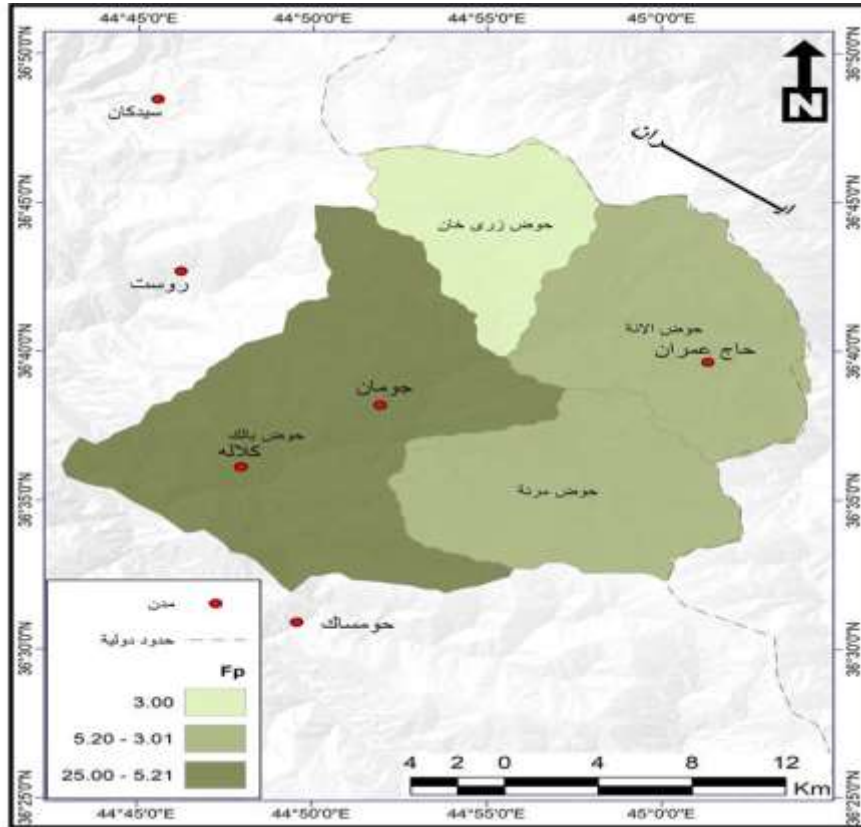
Fp: قيمة التسرب الثابتة      A: المساحة      Td: زمن التصريف

الجدول (14) قيمة التسرب الثابتة لأحواض منطقة الدراسة

اسم الحوض	قيمة التسرب Fp
حوض زرى خان	3.0
حوض الانة	5.2
حوض مرنة	4.6
حوض بالك	25.0

المصدر: بالاعتماد على نموذج الارتفاع الرقمي DEM وباستخدام برنامج Arc Map 10.5

خريطة (16) قيمة التسرب الثابتة لأحواض منطقة الدراسة



المصدر: بالاعتماد على جدول (14) وباستخدام برنامج Arc Map 10.5

**الاستنتاجات:**

1- تتنوع الخصائص الطبيعية الامر الذي ادى الى تنوع الخصائص الهيدرولوجية وابرز خصائصه الهيدرولوجية الحالية في المنطقة.

- 2- يمكن حساب الجريان السطحي بواسطة نماذج الجريان السطحي منها نموذج سنايدر .
- 3- تحتوي المنطقة ثلاث احواض ثانوية فضلا عن الحوض الرئيسي لوادي بالك.
- 4- اشارت النتائج الى فعالية استخدام تقنية الاستشعار ونظم المعلومات وبناء قواعد البيانات بالاعتماد على بيانات القمر الصناعي (Landsat8) المتمثل بالمرئية الفضائية م واستخدام برنامج (Arc Map 10) .
- 5- كمية الامطار يختلف وتوزيعها وكثافته سقوطها على الحوض الامر الذي يؤثر على عمق وحجم الجريان السطحي.

#### التوصيات:

- 1- ضرورة الاهتمام بتقنيات حصاد المياه في مجاري الاودية الامر الذي يؤدي الى خلق بيئة محلية في مناطق انشاءها.
- 2- الاستفادة من مياه الجريان السطحي في فترات سقوط الامطار.
- 3- اقامة محطات هيدرولوجية لقياس كمية المياه وبناء قاعدة فهي ذات في الدراسات الهيدرولوجية للتنبؤ بالمخاطر السيلية.
- 4- استخدام التقانات الحديثة في معالجة البيانات للوصول الى الدقة في العمل واختصار الوقت وتقليل التكاليف لمساعدة اصحاب القرار في رسم الخطط التنموية للمنطقة.

#### الهوامش:

- 1-- Saad Numan Al -Saadi ,Luay Dawood Yousif, Landslide Hazard of Rock Slopes Around Shaqlawa City ,Kurdistan Region ,NE Iraq, with Modified Classification of Hazard on Roads and proposing remedial ,Journal of Zankoy Sulaimani -part A (Jzs-A), 15(3),2013, p5.
- 2- ناهد جمال الطالباني ، المياه الجوفية في منطقة ما بين الزابيين واستغلالها ، مطبعة اباد، السليمانية، 2009، ص 79.
- 3- هاشم ياسين محمد امين حداد، أطلس الموارد الطبيعية لمحافظة اربيل وادارة الارض وادارة الارض للأغراض الزراعية -دراسة كارتوغرافية جغرافية 'رسالة ماجستير، كلية الآداب، جامعة صلاح الدين 2000، ص50.
- 4- ادريس علي سلمان، مخاطر السيول في منطقة جازان جنوب غرب المملكة العربية السعودية (منظور جيموفولوجي)، مجلة جامعة جازان، فرع العلوم الانسانية، مجلد 1 -عدد 3، 2014، ص 45.
- 5- وسن علي كاظم، النمذجة المكانية لمخاطر السيول في حوض وادي رطكة في الهضبة الغربية في الهضبة الغربية في العراق، مجلة جامعة الانبار للعلوم الانسانية، العدد (1) -مجلد (2)، 2022، ص90.
- 6- هند طارق مجيد التحليل المكاني للخصائص الجيومورفولوجية لوادي قره تبة وصره خاتون شرقي محافظة ميسان، جامعة واسط، كلية التربية، 2022، ص109.
- 7-H.M, Raghunath, Hydrology, Principles analysis design, revised second edition, new age international ltd. Publishers, 2006.

8- احمد كاظم عباس، وفاء مازن عبدالله، خصائص السيول في حوض وادي تويلكة حسب نموذج ( سنايدر )، كلية التربية الاساسية -جامعة ميسان ، المؤتمر العلمي الافتراضي الدولي الاول - قسم الجغرافية، 2020، ص329.

9-Raghuath, H.M, Hydrology Principles Analysis and Design ,John Wiley ,New York ,1984,P164.

10-H.M. Raghuath, Hydrology Principles Analysis and Design, op, cit, PP158-159.

10-محمد عبد الرحيم الدالي ، السهل الساحلي للبحر الاحمر (دراسة في الجيومورفولوجيا التطبيقية ، معهد البحوث والدراسات الافريقية ، 2012، ص284.

11-Hydrology, iswm, Technical manual, wmnctcog.org/documents/technical-manual/hydrology , 2010, P33.

12- مجيب رزوقي فريح، التقييم الهيدرولوجي الجيومورفولوجي لأحواض جنوب شرق جبل بيرس، اطروحة دكتوراه، الجامعة المستنصرية -كلية التربية ، 2018، ص96

المصادر:

المصادر العربية:

- 1- ناهد جمال الطلبياني ، المياه الجوفية في منطقة ما بين الزابيين واستغلالها ، مطبعة اباد، السليمانية ، 2009
- 2- هاشم ياسين محمد أمين حداد ، أطلس الموارد الطبيعية لمحافظة اربيل وإدارة الأرض وإدارة الأرض للإغراض الزراعية -دراسة كارتوغرافية جغرافية رسالة ماجستير ،كلية الآداب ،جامعة صلاح الدين 2000.
- 3- ادريس علي سلمان ،مخاطر السيول في منطقة جازان جنوب غرب المملكة العربية السعودية (منظور جيومورفولوجي )، مجلة جامعة جازان ، فرع العلوم الإنسانية ، مجلد 1 - عدد 3، 2014

4- وسن علي كاظم ، النمذجة المكانية لمخاطر ، مجلة جامعة الانبار للعلوم الإنسانية، العدد(1) -مجلد (2)، 2022، ص90-<sup>1</sup>

السيول في حوض وادي رطكة في الهضبة الغربية في الهضبة الغربية في العراق

5- هند طارق مجيد التحليل المكاني للخصائص الجيومورفولوجية لوادي قرّة تبة وصرة خاتون شرقي محافظة ميسان جامعة واسط<sup>1</sup>، كلية التربية ، 2022

6- احمد كاظم عباس، وفاء مازن عبد الله، خصائص السيول في حوض وادي تويلكة حسب نموذج ( سنايدر )، كلية التربية الاساسية -جامعة ميسان ، المؤتمر العلمي الافتراضي الدولي الاول - قسم الجغرافية، 2020

7-محمد عبد الرحيم الدالي ، السهل الساحلي للبحر الاحمر (دراسة في الجيومورفولوجيا التطبيقية ، معهد البحوث والدراسات الافريقية ، 2012، ص284.

8- مجيب رزوقي فريح، التقييم الهيدرولوجي لاجواض جنوب شرق جبل بيرس، اطروحة دكتوراه ، الجامعة المستنصرية -كلية التربية ، 2018،

المصادر الاجنبية:

1-- Saad Numan Al -Saadi ,Luay Dawood Yousif, Landslide Hazard of Rock Slopes Around Shaqlawa City ,Kurdistan Region ,NE Iraq, with Modified Classification of Hazard on Roads and proposing remedial ,Journal of Zankoy Sulaimani -part A (Jzs-A), 15(3),2013, p5.

2- H.M, Raghuath, Hydrology, Principles analysis design, revised second edition, - new age international ltd. Publishers, 2006

3 -Raghuath, H.M, Hydrology Principles Analysis and Design ,John Wiley ,New York ,1984,P164.

4 - Hydrology, iswm, Technical manual, iswm.nctcog.org/documents/technical- manual/hydrology , 2010, P33